

数学分析原理

第二卷 第二分册

格·马·菲赫金哥尔茨著
丁寿田译

数 学 分 析 原 理

第二卷 第二分册

格·马·菲赫金哥尔茨著

丁寿田译

人民教育出版社

本书系根据苏联国立技术理论书籍出版社 (Государственное издательство технико-теоретической литературы) 出版的菲赫金哥尔茨 (Г. М. Фихтенгольц) 著“数学分析原理” (Основы математического анализа) 第二卷1957年第二版译出。

全书共二卷。第一卷及第二卷第一分册已有中译本，由本社出版。此系第二卷中译本的第二分册，内容是：线积分，二重积分，面积分，三重积分，多重积分，傅立叶级数及附录：数学分析进一步发展的简史。

本书可作为综合大学和师范学院数学系参考书。

简装本说明

目前 850×1168 毫米规格纸张较少，本书暂以 787×1092 毫米规格纸张印刷，定价相应减少 20%。希鉴谅。

数学分析原理

第二卷 第二分册

格·马·菲赫金哥尔茨著

丁寿田译

人民教育出版社出版(北京沙滩后街)

人民教育出版社印刷厂印装

新华书店北京发行所发行

各地新华书店经售

统一书号 13012·0319 开本 787×1092 1/16 印张 8 4/16

字数 211,000 印数 23,501—223,500 定价(C)¥0.64

1962年12月第1版 1979年2月北京第8次印刷

第二卷第二分册目录

第二十章 線积分	219
§ 1. 第一型線积分	219
327. 第一型線积分	219
328. 化为寻常定积分	221
329. 例	223
§ 2. 第二型線积分	226
330. 第二型線积分定义	226
331. 第二型線积分的存在及其計算	228
332. 閉路線的情形。平面的定向法	232
333. 例	233
334. 两种类型線积分間的关系	236
335. 在物理問題上的应用	237
第二十一章 二重积分	241
§ 1. 二重积分定义及简单性质	241
336. 柱体体积問題	241
337. 化二重积分为累次积分	242
338. 二重积分定义	245
339. 二重积分存在条件	246
340. 可积函数类	248
341. 可积函数及二重积分的性质	251
342. 积分作为可加性区域函数。对区域的微分法	254
§ 2. 二重积分的計算	256
343. 化矩形区域上的二重积分为累次积分	256
344. 化曲线区域上二重积分为累次积分	261
345. 力学上的应用	267
§ 3. 格林公式	271
346. 格林公式的推导	271
347. 以線积分表出面积	274
§ 4. 線积分与积分路線无关的条件	276
348. 沿简单閉界線的积分	276
349. 沿連結任意两点的曲线的积分	278
350. 与恰当微分問題的联系	280
351. 在物理問題上的应用	284
§ 5. 二重积分的变数替换	286
352. 平面区域的变换	286
353. 以曲線坐标表出面积	291
354. 补充說明	294
355. 几何的推导法	296
356. 二重积分中的变数更换	299
357. 与单积分的相似。定向区域上的积分	301
358. 例	302
359. 史話	305
第二十二章 曲面面积·面积分	308
§ 1. 双側曲面	308
360. 曲面的參变表示法	308
361. 曲面之側	312
362. 曲面的定向法及其側的选定	315
363. 逐段光滑曲面的情形	318
§ 2. 曲面面积	319

364. 希瓦尔茲的例.....	319	§ 4. 場論初步.....	374
365. 显式方程所給曲面的 面积.....	321	388. 数量与矢量.....	374
366. 一般情形的曲面面积.....	323	389. 数量場与矢量場.....	374
367. 例.....	326	390. 沿給定方向的导数。 梯度.....	375
§ 3. 第一型面积分.....	328	391. 通过曲面的矢量流量.....	378
368. 第一型面积分定义.....	328	392. 奥斯脱罗格拉德斯基 公式。发数量.....	379
369. 化为寻常二重积分.....	329	393. 矢量的循环量。斯托 克斯公式。旋转量.....	381
370. 第一型面积分在力学 上的应用.....	331	§ 5. 多重积分.....	384
§ 4. 第二型面积分.....	334	394. m 維体的体积与 m 重 积分.....	384
371. 第二型面积分定义.....	334	395. 例.....	385
372. 化为寻常二重积分.....	337	第二十四章 傅立叶級數.....	388
373. 斯托克斯公式.....	339	§ 1. 导言.....	388
374. 斯托克斯积分应用于 空间线积分的研究.....	343	396. 周期量与調和分析.....	388
第二十三章 三重积分.....	346	397. 决定系数的欧拉-傅立 叶方法.....	391
§ 1. 三重积分及其計算.....	346	398. 直交函数系.....	394
375. 立体质量計算問題.....	346	§ 2. 函数的傅立叶級數展开式.....	396
376. 三重积分及其存在条 件.....	347	399. 問題的提出。狄里希 萊积分.....	396
377. 可积分函数及三重积 分的性质.....	348	400. 基本预备定理.....	399
378. 三重积分的計算.....	350	401. 局部化原理.....	401
379. 力学上的应用.....	354	402. 函数的傅立叶級數表 示法.....	402
§ 2. 奥斯脱罗格拉德斯基公式.....	356	403. 非周期函数的情形.....	404
380. 奥斯脱罗格拉德斯基 公式.....	356	404. 任意区间的情形.....	406
381. 奥斯脱罗格拉德斯基 公式的几个应用实例.....	358	405. 只含余弦或只含正弦 的展开式.....	407
§ 3. 三重积分变数更换.....	362	406. 例.....	410
382. 空间区域的变换.....	362	407. 连续函数展开为三角 多项式級數.....	416
383. 体积表为曲线坐标.....	364	§ 3. 傅立叶积分.....	418
384. 几何的推导法.....	368	408. 傅立叶积分作为傅立 叶級數的极限情形.....	418
385. 三重积分的变数更换.....	369		
386. 例.....	370		
387. 史話.....	373		

409. 預備說明.....	420	420. 达朗貝爾及歐拉的解法.....	445
410. 用傅立叶积分表示出函数.....	422	421. 戴劳及但尼尔·贝努里 的解法.....	447
411. 傅立叶公式的种种形式.....	423	422. 关于弦振动問題的爭論	450
412. 傅立叶变换.....	425	423. 函数的三角展开式。 系数的决定.....	451
§ 4. 三角函数系的封闭性与完备性.....	428	424. 傅立叶级数收敛性証明及其他問題.....	453
413. 函数的平均逼近。傅立叶級數段的极值性质.....	428	425. 結尾語.....	455
414. 三角函数系的封闭性.....	431		
415. 三角函数系的完备性.....	436		
416. 广义封闭性方程.....	437		
417. 傅立叶級數的逐項積分.....	437		
418. 几何的解釋.....	439		
§ 5. 三角級數簡史.....	444		
419. 弦振动問題.....	444		
附录		数学分析进一步发展 概況.....	457
		I. 微分方程.....	457
		II. 变分法.....	458
		III. 复变函数論.....	462
		IV. 积分方程論.....	465
		V. 实变函数論.....	468
		VI. 泛函分析.....	472

第二十章 線积分

§ 1. 第一型線积分

327. 第一型線积分 我們通过一个力学問題来自然地导出这个新的积分概念。

設給了一条有长的簡單^①平面曲綫(K)(图 8), 沿曲綫分布着质量, 并且已知曲綫上每点 M 处的綫性密度 $\rho(M)$ 。現在要來求全曲綫(K)的质量 m 。

为此我們在曲綫两端 A 与 B 之間任意地插入一系列的点 A_1, A_2, \dots, A_{n-1} (并將 A 写成 A_0 , B 写成 A_n , 以求記号一律)。为确定起見, 我們認為这些点是按 A 至 B 的方向标号碼的; 当然, 采取相反的方向标号碼也无妨碍。

在弧 $A_i A_{i+1}$ 上任取一点 M_i , 算出該点上的密度 $\rho(M_i)$ 。把这一段弧的每点上的密度都近似地算作相等而以 σ_i 表該弧之长, 則該弧的质量近似地为:

$$m_i = \rho(M_i) \sigma_i,$$

而所求的全质量为

$$m = \sum_{i=0}^{n-1} \rho(M_i) \sigma_i.$$

① 所謂简单曲綫是指这样的連續曲綫: 它由參变式给出, 而相应于每一点只有一个參变值; 在閉曲綫的情形則“閉合点”是例外: 它相应于两个极端參变值。

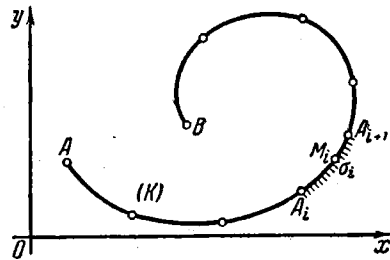


图 8.

此式的誤差是由上面所作的近似假設而引起的。如所有各段弧长 σ_i 超于 0 时这个誤差也趋于 0。

如此，以 λ 表弧长 σ_i 中最大者，则只要取极限就得出精确的公式：

$$m = \lim_{\lambda \rightarrow 0} \sum_{i=0}^{n-1} \rho(M_i) \sigma_i.$$

我們以一般形式来研究这种极限。現在撇开所考慮的力学問題而取一个任意的“点函数” $f(M) = f(x, y)$ ，它沿着一条有长連續平面曲綫(K)^①被給定，并重复上面所說的过程：将曲綫(K)分成弧段(弧元素) $A_i A_{i+1}$ ，在每段上各任取一点 $M_i(\xi_i, \eta_i)$ ，而算出这些点上的函数值 $f(M_i) = f(\xi_i, \eta_i)$ 并組成总和

$$\sum_{i=0}^{n-1} f(M_i) \sigma_i = \sum_{i=0}^{n-1} f(\xi_i, \eta_i) \sigma_i;$$

它也是一种积分和。

此和在 $\lambda = \max \sigma_i$ 趋于 0 时的有限极限称为函数 $f(M) = f(x, y)$ 沿曲綫或路綫(K)的第一型^②綫积分而表成

$$\int_{(K)} f(M) ds = \int_{(K)} f(x, y) ds \quad (1)$$

(这里 s 是曲綫的弧长而 ds 象征长度元素 σ_i)。

这极限过程的精确描述訛讀者自己去做。

如此，前面所得物质曲綫的质量可以写成这样：

$$m = \int_{(K)} \rho ds. \quad (2)$$

特別指出的是，在上面的定义里路綫(K)的方向不起作用。比

① 在此假設所依据的是直角坐标系。

② 这是和下面要讲的[330段]第二型綫积分不同的。

方說，當(K)不是封閉曲綫時(AB)和(BA)雖然是方向不同的曲綫，但

$$\int_{(AB)} f(M) ds = \int_{(BA)} f(M) ds.$$

同樣，我們可以建立沿空間曲綫(K)的積分概念：

$$\int_{(K)} f(M) ds = \int_{(K)} f(x, y, z) ds^{\text{①}}.$$

這裡沒有什麼新的原則性東西，不需再詳加解釋了。

328. 化為尋常定積分 我們假設在曲綫(K)上兩個可能方向中任意選定其一，如此曲綫上每點 M 的位置可由弧長 $s = \overline{AM}$ 來決定，這裡弧長是由點 A 算起的。於是曲綫(K)可由參變方程表出如下：

$$x = x(s), \quad y = y(s) \quad (0 \leq s \leq S),$$

而沿曲綫各點給定的函數 $f(x, y)$ 就化為變數 s 的複合函數 $f(x(s), y(s))$ 。

如果以 s_i ($i = 0, 1, \dots, n$) 表示和弧 AB 上所選分點 A_i 相應的弧的值，則顯然 $\sigma_i = s_{i+1} - s_i = \Delta s_i$ 。以 \bar{s}_i 表示決定點 M_i 的 s 值(顯然 $s_i \leq \bar{s}_i \leq s_{i+1}$)，於是可以看出綫積分中的積分和

$$\sum_{i=0}^{n-1} f(M_i) \sigma_i = \sum_{i=0}^{n-1} f(x(\bar{s}_i), y(\bar{s}_i)) \Delta s_i,$$

同時也就是尋常定積分中的積分和，如此我們立即有：

$$\int_{(K)} f(M) ds = (R) \int_0^S f(x(s), y(s)) ds^{\text{②}}, \quad (3)$$

而由一個積分的存在就可推出另一積分的存在。

① 所依據的是一个直角坐标系。函数 f 只在曲綫(K)的點上有定义。

② (R)表示積分理解為尋常的黎曼積分。

特例，在函数 $f(M)$ 連續^①的时候，这个积分显然是存在的。今后我們也就假設所論函数总是連續的。

現在設曲綫(K)由任意參变方程

$$x=\varphi(t), \quad y=\psi(t) \quad (t_0 \leq t \leq T)$$

給出，而函数 φ 及 ψ 連同其导函数 φ' 及 ψ' 都連續；此外我們假設曲綫上沒有重点。于是該曲綫显然是有长的，并且如果弧 $s = \overline{AM} = s(t)$ 随參变数 t 一起增大，则

$$s'(t) = \sqrt{[\varphi'(t)]^2 + [\psi'(t)]^2}$$

[201, 202 段]。在(3)式右边积分中作变量替换，立即得出：

$$\int_{(K)} f(M) ds = (R) \int_{t_0}^T f(\varphi(t), \psi(t)) \sqrt{[\varphi'(t)]^2 + [\psi'(t)]^2} dt. \quad (4)$$

如此，要計算第一型綫积分时須在被积函数中将变数 x 和 y 代以坐标的參变式同时 ds 也代以弧长微分的參变形式。

如果在參变数 t 增大时弧 AM 变小，则只要改为弧 MB ，就可重新得出公式(4)。总之，无论曲綫的參变式如何，在这公式里右边的积分下限必須小于上限。

在曲綫由显式方程

$$y=y(x) \quad (a \leq x \leq b)$$

給出的情形，則公式(4)变成：

$$\int_{(K)} f(M) ds = (R) \int_a^b f(x, y(x)) \sqrt{1 + [y'(x)]^2} dx. \quad (5)$$

① 我們指的是在曲綫(K)的点上沿該曲綫的連續性。以“ $\varepsilon-\delta$ ”語言來說，这就表示，对 $\varepsilon > 0$ 可找到这样一个 $\delta > 0$ ，使在 $\overline{MM'} < \delta$ (M 及 M' 为曲綫上之点) 时 $|f(M') - f(M)| < \varepsilon$ 。在此假設下只要 $x(s)$ 和 $y(s)$ 連續則对 s 复合函数 $f(x(s), y(s))$ 也就連續。

这个关系式还可取另一形式，在函数 $y(x)$ 連同其导函数 $y'(x)$ 都連續的假設之下曲綫 (K) 在每点上将有一定的与 y 軸不平行的切綫。以 α 表切綫与 x 軸的交角，得

$$\operatorname{tg} \alpha = y'(x), \quad |\cos \alpha| = \frac{1}{\sqrt{1 + [y'(x)]^2}}.$$

所以

$$\int_{(K)} f(M) ds = \int_a^b \frac{f(x, y(x))}{|\cos \alpha|} dx. \quad (6)$$

在特例，因为显然

$$\int_{(K)} ds = S,$$

(这里 S 表示曲綫 (K) 之全长)于是

$$S = \int_a^b \frac{dx}{|\cos \alpha|}. \quad (7)$$

附注 公式(7)我們是以形式變換得出的。如果將曲綫弧長定义为外切(不是內接)折綫全长的极限，则在曲綫以显式给出时这个定义将直接导至公式(7)。这一点讀者可以自己驗明。

329. 例 1) 設 (K) 是椭圓 $\frac{x^2}{a^2} + \frac{y^2}{b^2} = 1$ 在第一象限中的四分之一，我們來計算

$$I = \int_{(K)} xy ds.$$

由椭圓參变式 $x = a \cos t, y = b \sin t$ 出发我們有

$$x'_t = -a \sin t, \quad y'_t = b \cos t, \quad \sqrt{x'^2_t + y'^2_t} = \sqrt{a^2 \sin^2 t + b^2 \cos^2 t}.$$

計算可按公式(4)来进行：

$$I = \int_0^{\frac{\pi}{2}} a \cos t \cdot b \sin t \cdot \sqrt{a^2 \sin^2 t + b^2 \cos^2 t} dt =$$

$$= \frac{ab}{2} \int_0^{\frac{\pi}{2}} \sin 2t \sqrt{a^2 \frac{1 - \cos 2t}{2} + b^2 \frac{1 + \cos 2t}{2}} dt.$$

这里我們令 $\cos 2t = z$ ，于是 $\sin 2t dt = -\frac{1}{2} dz$ 而

$$\begin{aligned} I &= \frac{ab}{4} \int_{-1}^1 \sqrt{\frac{a^2+b^2}{2} + \frac{b^2-a^2}{2} z} dz = \\ &= \frac{ab}{4} \cdot \frac{2}{b^2-a^2} \cdot \frac{2}{3} \left[\frac{a^2+b^2}{2} + \frac{b^2-a^2}{2} z \right]^{\frac{3}{2}} \Big|_{-1}^1 = \frac{ab}{3} \cdot \frac{a^2+ab+b^2}{a+b}. \end{aligned}$$

附注 大多数經常遇到的曲綫(椭圓、双曲线、正弦型曲綫等等)其弧长都不能表为初等函数, 因为 ds 不能积分成有限的形式。但是对这些曲綫, $\int_{(K)} f(x, y) ds$ 这个积分却有时可以算出是初等函数(如前例), 这是因为乘上了 $f(x, y)$ 就改变了积分号下微分式的整个結構。

有关沿物質曲綫連續分布的质量問題可以很自然地导至这种类型的綫积分。

2) 我們在第十二章 [206 段] 曾經在“綫性密度” $\rho=1$ 的假設之下計算过平面曲綫对坐标軸的靜力矩以及其重心的坐标。讀者不难将那里所得公式推广到质量連續分布的一般情形。如果利用所引入的綫积分概念, 則結果可写成下面的形状:

$$K_y = \int_{(K)} \rho x ds, \quad K_x = \int_{(K)} \rho y ds,$$

$$x_c = \frac{K_y}{m} = \frac{\int_{(K)} \rho x ds}{\int_{(K)} \rho ds}, \quad y_c = \frac{K_x}{m} = \frac{\int_{(K)} \rho y ds}{\int_{(K)} \rho ds}.$$

3) 我們还指出第一型綫性积分的一种应用——应用于物質曲綫对質点的引力問題。

我們知道, 按牛頓定律, 一个质量为 m 的質点 M 吸引一个质量为 m_0 的質点 M_0 时, 引力的方向是由 M_0 至 M , 引力的大小則等于 $k \frac{mm_0}{r^2}$, 这里 r 是距离 M_0M , 而 k 是随所采用量度单位而定的系数, 为简单起見通常可算它等于 1。

如果一个質点 M_0 被一組质量各为 m_1, m_2, \dots, m_n 的質点 M_1, M_2, \dots, M_n 所吸引, 則合力可由各質点的引力的几何加法得出。同时合力在諸坐标軸上的投影就等于各力的投影的代数和。

如果以 X 与 Y 表示合力在坐标軸上的投影, 而以 θ_i 表示分矢量 $\vec{r}_i = \overrightarrow{M_0 M_i}$

与 x 軸的交角(图 9), 則显然

$$X = \sum_{i=1}^n \frac{m_0 m_i}{r_i^2} \cos \theta_i, \quad Y = \sum_{i=1}^n \frac{m_0 m_i}{r_i^2} \sin \theta_i,$$

这里 r_i 如慣例表示矢量 \vec{r}_i 之长。

現在設吸引質量沿曲綫 (K) 連續分布。为了計算引力我們將該曲綫分段, 并且将每段的质量集中于在它上面任意选取的一点 M_i 上而來求合力在坐标軸上的投影的近似值:

$$X \doteq \sum_i \frac{m_0 \rho(M_i) \sigma_i}{r_i^2} \cos \theta_i,$$

$$Y \doteq \sum_i \frac{m_0 \rho(M_i) \sigma_i}{r_i^2} \sin \theta_i,$$

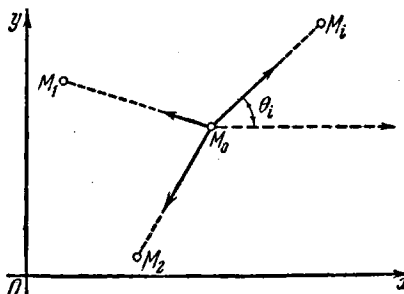


图 9.

因为在这情形各段的质量近似地等于 $\rho(M_i) \sigma_i$ 。如果令所有 σ_i 趋于 0, 則在极限情形得出精确的等式而总和变成了积分:

$$X = m_0 \int_{(K)} \frac{\rho(M) \cos \theta}{r^2} ds, \quad Y = m_0 \int_{(K)} \frac{\rho(M) \sin \theta}{r^2} ds; \quad (8)$$

这里 r 表示矢量 $\vec{r} = M_0 M$ 之长, 而 θ 表示其与 x 軸所成之角。

例如我們來求一个均匀半圆周($\rho = 1$)对其中心处一个单位质量的引力。

将坐标原点取在半圆周的中心而 x 軸通过其两端(图 10)。

由于对称性可推想到 $X = 0$, 如此

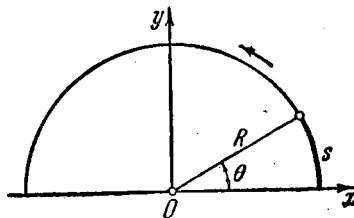


图 10.

只要找出投影 Y 就行了。按公式 (8)

$$Y = \int \frac{\sin \theta}{r^2} ds.$$

但在当前这情形 $r = R$ (半圆周的半径) 而 $ds = Rd\theta$ 。所以

$$Y = \frac{1}{R} \int_0^\pi \sin \theta d\theta = \frac{2}{R}.$$

§ 2. 第二型线积分

330. 第二型线积分定义 现在来讨论实际上更重要的第二型线积分的概念。我们在此直接由它的定义开始，而其应用则等以后再讲[例如见 335 段]。设给定了一条简单曲线(AB) (暂假设它是非闭曲线) 并设沿该曲线又给定了一个函数 $f(x, y)$ ^①。将曲线用 $A_i(x_i, y_i)$ 起点分为 n 段而在每段 $A_i A_{i+1}$ 上任取一点 $M_i(\xi_i, \eta_i)$ 并像以前一样算出该点上的函数值 $f(M_i) = f(\xi_i, \eta_i)$ 。但此值这次不是乘以弧 $A_i A_{i+1}$ 之长而是乘以此弧在坐标轴上的投影，比方说， x 轴上的投影 $x_{i+1} - x_i = \Delta x_i$ ；然后组成积分和

$$\sigma = \sum_{i=0}^{n-1} f(M_i) \Delta x_i = \sum_{i=0}^{n-1} f(\xi_i, \eta_i) \Delta x_i.$$

此和在 $\mu = \max A_i A_{i+1}$ 趋于 0 时的有限极限就叫做 $f(M) dx$ 沿曲线或路线(AB) 所取的(第二型)线积分并用符号表为

$$I = \int_{(AB)} f(M) dx = \int_{(AB)} f(x, y) dx. \quad (1)$$

同样，将 $f(M_i)$ 值乘以弧 $A_i A_{i+1}$ 在 y 轴上的投影 Δy_i (而不是乘以 Δx_i) 并组成和式

$$\sigma^* = \sum_{i=0}^{n-1} f(M_i) \Delta y_i = \sum_{i=0}^{n-1} f(\xi_i, \eta_i) \Delta y_i,$$

① 参阅 220 页第一个底注。

則其极限即为 $f(M)dy$ 的(第二型)綫积分:

$$I^* = \int_{(AB)} f(M)dy = \int_{(AB)} f(x, y)dy. \quad (2)$$

如果沿曲綫定义了两个函数 $P(M) = P(x, y)$ 及和 $Q(M) = Q(x, y)$ 并且存在积分

$$\begin{aligned} \int_{(AB)} P(M)dx &= \int_{(AB)} P(x, y)dx, \\ \int_{(AB)} Q(M)dy &= \int_{(AB)} Q(x, y)dy, \end{aligned}$$

則它們的和也叫做綫积分("一般形式")而令

$$\begin{aligned} \int_{(AB)} P(x, y)dx + Q(x, y)dy &= \\ = \int_{(AB)} P(x, y)dx + \int_{(AB)} Q(x, y)dy \oplus. \end{aligned} \quad (3)$$

現在我們來比較两种类型綫性积分的定义 [參閱本段(1)或(2)与 327 段(1)]。两个定义除明显的相似之外还有重要的差异, 这我們再一次強調指出: 在第一型积分里組成积分和时函数值 $f(M_i)$ 是乘以弧段 $A_i A_{i+1}$ 之长 $\sigma_i = \Delta s_i$, 而在第二型里則 $f(M_i)$ 值是乘以該弧段在 x 軸(或 y 軸)上的投影 Δx_i (或 Δy_i)。

我們已經看到, 积分路綫 (AB) 的方向在第一型积分的情形不起作用, 因为弧 $A_i A_{i+1}$ 之长 σ_i 与这方向无关。第二型积分情形就不同了: 該弧在各坐标軸上的投影主要取决于弧的方向并且方向反过来时投影也就变正負号。如此, 对第二型积分有

$$\int_{(BA)} f(x, y)dx = - \int_{(AB)} f(x, y)dx$$

同样,

① 关于綫积分历史考證讀者可查 350 段附注。

$$\int_{(BA)} f(x, y) dy = - \int_{(AB)} f(x, y) dy,$$

这里由一边积分的存在可推知另一边积分也存在。

用同样方式可建立沿空間曲綫 (AB) (姑且說非封閉的) 的第二型綫积分的概念。即，如果函数 $f(M) = f(x, y, z)$ 給定在此曲綫的点上，则我們如前組成“积分和”

$$\sigma = \sum_{i=0}^{n-1} f(\xi_i, \eta_i, \zeta_i) \Delta x_i$$

并且考慮它在 $\mu = \max \overline{A_i A_{i+1}}$ 趋于 0 时的极限。这个极限就叫做 $f(M) dx$ 的(第二型)綫积分并用符号表为

$$\int_{(AB)} f(M) dx = \int_{(AB)} f(x, y, z) dx.$$

同样可定义积分：

$$\int_{(AB)} f(M) dy = \int_{(AB)} f(x, y, z) dy$$

及

$$\int_{(AB)} f(M) dz = \int_{(AB)} f(x, y, z) dz.$$

最后，也可考慮“一般形式”的积分

$$\int_{(AB)} P dx + Q dy + R dz = \int_{(AB)} P dx + \int_{(AB)} Q dy + \int_{(AB)} R dz.$$

这里积分的正負号也随积分方向而改变。

最后注意寻常定积分的简单性质都不难搬到綫积分上来；对此不必細講了。

331. 第二型綫积分的存在及其計算 設曲綫 $(K) = (AB)$ 由參变方程

$$x = \varphi(t), \quad y = \psi(t) \quad (4)$$

給出，而 φ 和 ψ 是連續的並且參變數 t 由 α 變至 β 時曲線即依 A 至 B 的方向描出，沿曲線 (AB) 的函數 $f(x, y)$ 也假設是連續的^①。

如果對積分(1)來說，則還須補充導函數 $\varphi'(t)$ 存在並連續這個條件。

在這些假設之下線積分(1)就存在並且成立等式

$$\int_{(AB)} f(x, y) dx = (R) \int_{\alpha}^{\beta} f(\varphi(t), \psi(t)) \varphi'(t) dt. \quad (5)$$

如此，要計算線積分(1)，須在被積函數中將其變數 x 和 y 代以其參變表出式(4)，而 dx 則代以 x 的參變式的微分。在最後積分中積分限的次序要和曲線上所選取的方向相應。

證明 設曲線上所取的點 A_i ($i=0, 1, 2, \dots, n$) 由參變數值 t_i 決定，而在弧 $A_i A_{i+1}$ 上所選取的點 M_i 由參變數值 τ_i 決定（顯然 $t_i \leq \tau_i \leq t_{i+1}$ ）。於是積分和

$$\sigma = \sum_{i=0}^{n-1} f(\xi_i, \eta_i) \Delta x_i,$$

考慮到

$$\Delta x_i = \varphi(t_{i+1}) - \varphi(t_i) = \int_{t_i}^{t_{i+1}} \varphi'(t) dt,$$

它可寫成：

$$\sigma = \sum_{i=0}^{n-1} f(\varphi(\tau_i), \psi(\tau_i)) \int_{t_i}^{t_{i+1}} \varphi'(t) dt.$$

另一方面，(5)式中右邊的積分^②也可表為和的形式：

① 類似 222 頁底注中的話也適用於此，只是要將弧 MM' 代以弦 MM' 。

② 因為被積函數連續，故該積分显然是存在的。